

مزاریتولیناهای (Mesorbitolinas) سازند داریان در برش چینه‌شناسی دشتک، شمال شیراز

فاطمه صفری^۱، محسن یزدی مقدم^۲، فرشته سجادی^{*}

^۱ دانشگاه تهران، پردیس علوم، دانشکده زمین‌شناسی، تهران، ایران

^۲ مدیریت اکتشاف شرکت ملی نفت ایران، تهران، ایران

تاریخ پذیرش: ۱۳۸۷/۰۵/۰۴

تاریخ دریافت: ۱۳۸۷/۰۵/۰۵

چکیده

به منظور شناسایی گونه‌های مختلف اریتولینا موجود در سازند داریان و تعیین سن آنها، از آهک‌های بخش بالایی سازند داریان در برش دشتک نمونه‌برداری شد. بر اساس اندازه، شکل و پیچیدگی حجره جینی اریتولینا، پنج گونه متعلق به زیر جنس *Mesorbitolina* شامل *lotzei*, *Orbitolina (M.) parva*, *Mesorbitolina* شامل *Orbitolina (M.) texana*, *Orbitolina (M.) subconcava*, *Orbitolina (M.) sp. cf. M. pervia* انجام شده بخش بالایی سازند داریان انتهای آپتین پیشین-آپتین پسین (late early Aptian-late Aptian) تعیین سن شد. در این بررسی مرز آپتین پیشین و پسین (early/late Aptian) بر اساس پیدایش *O. (M.) parva* مشخص می‌شود.

E-mail: sajjadi@khayam.ut.ac.ir

کلیدواژه‌ها: مزاریتولینا، آپتین، سازند داریان، برش چینه‌شناسی دشتک، شمال شیراز

* نویسنده مسئول: فرشته سجادی

۱- مقدمه

- ۱- بخش زیرین به سمترا ۵۰ متر شامل آهک‌های خاکستری و متوسط لایه است که آثار آهن در آنها قابل دیدن است.
- ۲- بخش میانی به سمترا ۷۵ متر شامل آهک‌های سیاه چربی نازک لایه است که دارای رادیولر و روزن داران پلاتکتونیک فراوان است. این واحد میانی، آهک‌های اریتولین دار بخش بالایی سازند داریان را از آهک‌های فاقد اریتولین بخش زیرین جدا می‌کند.
- ۳- بخش بالایی به سمترا ۲۵۱ متر به طور عمده شامل آهک‌های خاکستری و دارای اریتولین‌های فراوان است. مطالعه حاضر تنها بر روی آهک‌های این بخش از سازند داریان انجام شده است.

۴- تاریخچه بررسی‌های پیشین اریتولین‌ها در ایران

در قرن نوزدهم و اوایل قرن بیستم اریتولین‌ها بر اساس شکل ظاهری طبقه‌بندی شدند. اولین بار (1948) Henson بر اساس ساختار داخلی، اریتولین‌ها را در خاورمیانه طبقه‌بندی کرد. وی کتاب خود را با عنوان "Larger imperforate foraminifera from southwestern Asia" منتشر کرد و در این کتاب چهار گونه واریته‌های مربوط به جنس اریتولین‌های ایران را شامل: *Orbitolina concava* (Lamarck) var. *sefina* Henson, *Orbitolina cf. discoidea* Gras, *Orbitolina cf. concava* (Lamarck), *Orbitolina kurdica* Henson چینه‌شناسی رسوبات تریاس تا پلیو-پلیستوسن شمال خاور سپر عربستان و قسمتی از کوه‌های زاگرس را مطالعه کردند و *Orbitolina discoidea* را از سازند داریان معرفی نمودند. Sampo (1969) با مطالعه ریزخسارها و ریزسنگوارهای سازندهای زاگرس در جنوب باختر ایران دو زون اریتولینی جدید برای آلبین به نام‌های *Orbitolina discoidea - conoidea* مربوط به سازندهای داریان و سروک و *Orbitolina concava* subspp. مربوط به سازندهای سروک و کزدمی را معرفی کرد. Seyed-Emami et al. (1971) چینه‌شناسی سنگ‌های کرتاسه در جنوب اصفهان را مورد مطالعه قرار دادند و برش به نسبت کاملی از کرتاسه (بارمین-کامپین-ماستریشتن) در ناحیه کلاه‌فاضی جنوب خاور اصفهان را توصیف کردند. در میان واحدهای مشخص شده (با سمترا ۱۰۰۰ متر) سه واحد اریتولین دار دیده شد که

اریتولین‌ها یکی از مهم‌ترین گروه‌های روزن داران بزرگ آگلوئینه هستند که به علت محدوده زمانی کوتاهی (short range) که دارند، در تعیین سن رسوبات و زیست چهنه‌نگاری نهشته‌های خاورمیانه از اهمیت بسیاری برخوردارند. اریتولین‌ها در ابتدا بر اساس شکل خارجی صدفشن مطالعه و تقسیم‌بندی می‌شدند. اما امروزه مشخص شده است که شرایط محیطی بر روی شکل صدف اریتولین‌ها بر طور کامل مؤثر است به همین علت بررسی‌های گسترده‌ای بر روی حجره جینی اریتولین‌ها صورت گرفته است. اولین بار (1948) Henson با استفاده از ساختمان داخلی، اریتولین‌ها را شناسایی و رده‌بندی نمود. سپس (1962) Schroeder اثبات نمود که دستگاه جینی مهم‌ترین عامل در شناسایی و طبقه‌بندی تاکسونومیکی اریتولین‌ها است. بیشتر بررسی‌هایی که تاکنون در ایران انجام شده، بر اساس شکل ظاهری اریتولین‌ها صورت گرفته است. در این مطالعه سعی شده است که گونه‌های اریتولین‌ها بر اساس حجره جینی آنها شناسایی و توصیف شوند.

۲- روش مطالعه

به منظور انجام این مطالعه، آهک‌های بخش بالایی سازند داریان در برش چینه‌شناسی دشتک که حاوی مجموعه متنوع و غنی از اریتولین‌ها است، انتخاب شد. ۹۳ نمونه از بخش مورد نظر برداشت شد. از هر نمونه سنگ دست کم دو و بیشینه شش مقطع نازک تهیه شد که توسط میکروسکوپ دو چشمی با نور معمولی و پولاریزان مورد مطالعه قرار گرفتند. با استفاده از ویژگی‌های دستگاه جینی گونه‌های زیر جنس *Mesorbitolina* شناسایی و توصیف شدند.

۳- موقعیت جغرافیایی و چینه‌شناسی برش دشتک

کوه دشتک با روند شمال باخته - جنوب خاور در فاصله ۱۰۷ کیلومتری شمال شیراز و در مجاورت روستای دشتک قرار دارد. برش مورد نظر بر روی یال جنوبی این تاقدیس واقع است. مختصات جغرافیایی رأس برش روزمینی "۴۵° ۲۷' ۵۲" طول خاوری و "۳۰° ۱۶' ۵۷" عرض شمالی است (شکل ۱). سازند داریان در برش دشتک ۳۷۶ متر سمترا دارد. مرز پایین آن با سازند گدوان هم شبی و تدریجی است. مرز بالایی آن نیز با سازند کزدمی به صورت هم شبی است و ناپیوستگی موجود در برش الگو در آن دیده نمی‌شود. این سازند از نظر چینه‌شناسی در برش دشتک به سه بخش قابل جدایش است:

(New Mexico) با سن آلبین گزارش شده است. همچنین این گونه از رسوبات آپتین پسین تا آلبین پیشین حوضه آدریاتیک (Velic, 1988; 2007)، از رسوبات آپتین پسین سازند شعیا در عمان (Witt & Gokdang, 1994)، از رسوبات آلبین زیرین کرواسی (Sartorio & Verturini, 1988)، از رسوبات آپتین پسین یمن (Husinec et al., 2000) و از رسوبات آپتین پسین ژاپن (Iba & Sano, 2006) نیز گزارش شده است.

Orbitolina (Mesorbitolina) texana (Roemer, 1849)

(Pl. 1, Figs. 8-11; pl. 2, Figs. 1-4)

- 1932 *Orbitolina conoidea* Gras; Silvestri in Ellis & Messina, fig. 14.
- 1948 *Orbitolina kurdica* Henson – Henson, p. 48.
- 1960 *Orbitolina minuta* Douglass; Douglass, pl. 7, fig. 9.
- Non 1960 *Orbitolina texana* (Roemer); Douglass, pl. 6, figs. 1 & 3-6.
- 1960 *Orbitolina parva* Douglass; Douglass, pl. 9, figs. 4, 8.
- 1963 *Orbitolina lenticularis* (Blumenbach); Hofker, pl. 7, figs 16-18; pl. 8, figs. 10-11; pl. 10, figs. 6, 9-10; pl. 13, figs. 13-14; pl. 16, fig. 7.
- 1969 *Orbitolina discoidea-conoidea*; Sampo, pl. 37, fig. 11.
- 1971 *Orbitolina conoidea* Gras; Seyed Emami et al., pl. 1, fig. 5; pl. 2, fig. 2.
- 1973 *Orbitolina (Mesorbitolina) texana* (Roemer); Fourcade & Raoult, pl. 1, figs. 6-7.
- Non 1975 *Orbitolina (Mesorbitolina) texana* (Roemer); Moullade & Saint-Marc, pl. 13, figs. 8-13; pl. 14, figs. 1-2.
- 1975 *Orbitolina (Mesorbitolina) libanica* Henson; Moullade & Saint-Marc, p. 833, pl. 14, figs. 4-12.
- 1975 *Orbitolina (Mesorbitolina) minuta* Douglass; Moullade & Saint-Marc, pl. 12, figs. 12-16; pl. 13, figs. 1-6.
- 1977 *Orbitolina (Mesorbitolina) minuta* Douglass; Rey et al., pl. 2, fig. 10.
- 1978 *Orbitolina (Mesorbitolina) minuta* Douglass; Moullade et al., pl. 1, fig. 5.
- 1978 *Orbitolina (Mesorbitolina) texana* Roemer; Cherchi et al., pl. 1, figs. 1-6, 8-10.
- 1985 *Orbitolina (Mesorbitolina) texana* Roemer, Schroeder in Schroeder & Neumann, pl. 36, figs. 1-13.
- 1985 *Orbitolina (Mesorbitolina) minuta* Douglass; Moullade et al., pl. 1, fig. 8.
- 1987 *Orbitolina (Mesorbitolina) texana* (Roemer); Simmons & Hart, pl. 10.2, fig. 4.
- 1988 *Orbitolina (Mesorbitolina) texana* (Roemer); Kuss & Schlagintweit, pl. 20, fig. 4.
- 1988 *Orbitolina (Mesorbitolina) texana* (Roemer); Sartorio & Venturini, p. 103, fig. 3.
- 1990 *Orbitolina (Mesorbitolina) texana* (Roemer); Schlagintweit, p. 264, fig. 3b.
- 1994 *Orbitolina (Mesorbitolina) texana* (Roemer); Witt & Gokdag, pl. 10.1, figs. 7, 9.
- 2000 *Orbitolina (Mesorbitolina) texana* (Roemer); Husinec et al., p. 164, figs. 8.2 - 8.4.
- 2000 *Mesorbitolina texana* (Roemer); Simmons et al., pl. 1, fig. 1; pl. 3, figs. 10-12; pl. 4, fig. 10.
- 2001 *Orbitolina (Mesorbitolina) texana* (Roemer); Castro et al., p. 152, fig. 5.I

figs. 16, 18; pl. 10, figs. 11, 12; pl. 12, figs. 4, 9.

1975 *Orbitolina (Mesorbitolina) parva* Douglass; Moullade & Saint-Marc, pl. 12, figs. 10-11.

1978 *Orbitolina (Mesorbitolina) parva* Douglass; Cherchi et al., pl. 1, fig. 7.

1985 *Orbitolina (Mesorbitolina) parva* Douglass; Moullade et al., pl. 1, fig. 6.

1988 *Orbitolina (Mesorbitolina) parva* Douglass; Sartorio & Venturini, P. 103, fig. 2.

1993 *Mesorbitolina parva* Douglass; Luperto Sinni & Masse, Tav. 27, fig. 7.

1994 *Orbitolina (Mesorbitolina) parva* Douglass; Witt & Gokdag, pl. 10.1, figs. 8, 10.

2000 *Orbitolina (Mesorbitolina) parva* Douglass; Husinec et al., P. 164, fig. 8.1.

2006 *Orbitolina (Mesorbitolina) parva* Douglass; Husinec & Sokac, P. 13, figs. 10A-F.

2006 *Orbitolina (Mesorbitolina) parva* Douglass; Iba & Sano, P. 219, figs. 2.1 - 2.2.

- ویژگی‌های خارجی

پوسته کوچک و بیشتر به صورت مخروط کوتاه دیده می‌شود. قاعده محدب تا مقرر است. در نمونه‌های مگالوسفریک ارتفاع نمونه ۰/۷۹۵ میلی‌متر و قطر پوسته ۰/۲۳۰ میلی‌متر است. دستگاه جنبی در رأس گرد شده (Rounded) (Rounded) (زاویه‌ای که از امتداد دو ضلع مخروط به وجود می‌آید) ۱۴۵°-۱۰۵° اندازه گیری شده است.

- ویژگی‌های داخلی دستگاه جنبی

در این گونه دستگاه جنبی در رأس صدف واقع شده است و طرح کلی آن در بر ش محوری مریع یا تقریباً مستطیلی شکل است (pl. 1, figs. 3-6) (pl. 1, figs. 1-6). دوتروکونک و ناحیه ساب آمبریونیک سبیرای تقریباً یکسانی دارند و یا دوتروکونک کمی سبیرتر از ساب آمبریونیک است.

دوتروکونک توسط چهار تا هفت دیواره عمودی تقسیم شده است. ناحیه ساب آمبریونیک نزی به طور معمول توسط دوتروکونک و ساب آمبریونیک دربرگرفته شده است. در بر ش محوری، در بیشتر موارد پروتوکونک تخم مرغی یا کم و بیش دایره‌ای شکل است، در محل اتصال دوتروکونک و ساب آمبریونیک، پروتوکونک کمی پهن تر شده و دوباره در بالا حالت محدب می‌گیرد (pl. 1, figs. 3-6)، این حالت تخم مرغی پروتوکونک می‌تواند یکی از نشانه‌های تشخیص این گونه از *O. (M.) texana* باشد. در این موارد به نظر می‌رسد پهن شدگی پروتوکونک در محل اتصال دوتروکونک و ناحیه ساب آمبریونیک باعث می‌شود تمايل انتهای ساب آمبریونیک در دو طرف پروتوکونک به سمت بیرون باشد، به عبارت دیگر دو انتهای ساب آمبریونیک حالت برگ مانند پیدا می‌کنند (pl. 1, figs. 3-6). در بر ش افقی پروتوکونک دایره‌ای شکل است و زمانی که این بر ش مربوط به بالاترین بخش ساب آمبریونیک باشد، تقسیمات ناحیه ساب آمبریونیک به صورت پنج تا شش حجره تقریباً بیضی شکل اطراف پروتوکونک دیده می‌شود (pl. 1, fig. 7)، که از این نظر بسیار شبیه به بر ش افقی *Orbitolina (Mesorbitolina) lotzei* است، اما اندازه ساختار آن به طور کامل متفاوت و بزرگتر است (شکل ۴). در این حجرات بیضی شکل، فاصله بین دو بخش به طور متوسط ۰/۰۶۳ میلی‌متر و ارتفاع آن ۰/۰۴۳ میلی‌متر اندازه گیری شده است. اندازه دستگاه جنبی در نمونه و قطر پروتوکونک در ۱۶ نمونه اندازه گیری شده بر حسب میلی‌متر در جدول ۲ آمده است.

- انتشار چینه‌شناشی

اوین بار توسط Douglass (1960) از رسوبات نیو مکریکو

آلین زیرین یمن (1988) از رسوبات آپتین پسین سازند شعیا (Shuaiba) و آلین سازند Nahr umr در عمان (Witt & Gokdag, 1994) از رسوبات آلین زیرین کرواسی (Husinec et al., 2000; Husinec & Sokac, 2006) و همچنین از رسوبات آپتین پسین تا آلین حوضه آدریاتیک (Velic, 2007) گزارش شده است. Simmons et al. (2000) در بازنگری که بر مجموعه جمع آوری شده هنسون داشته‌اند *O. texana* را از رسوبات آپتین ایران، لبنان و سوریه معرفی می‌نمایند. این گونه با عنوان *Gras conoidea* در رسوبات آپتین ایران، جنوب اصفهان (Seyed - Emami et al., 1971) ثبت شده است.

***Orbitolina (Mesorbitolina) subconcava* (Leymerie, 1878)**

(Pl. 2, Figs. 5-6)

- 1957 *Orbitolina discoidea* Gras; Sahni & Sastri in Ellis & Messina, fig. 15.
 1960 *Orbitolina minuta* Douglass; Douglass, pl. 7, fig. 25.
 1985 *Orbitolina (Mesorbitolina) subconcava* Leymerie; Schroeder in Schroeder & Neumann, pl. 37, figs. 1-8.
 1987 *Orbitolina (Mesorbitolina) subconcava* Leymerie; Simmons & Hart, pl. 10.2, fig. 2.
 1988 *Orbitolina (Mesorbitolina) subconcava* Leymerie; Kuss & Schlagintweit, pl. 20, figs. 5, 6.
 1990 *Orbitolina (Mesorbitolina) subconcava* Leymerie; Schlagintweit, p. 264, fig. 3a.
 1992 *Orbitolina discoidea* Gras ;Kalantari, p. 343, pl. 79, p. 342, text-fig. 163, 1-2.
 2000 *Mesorbitolina subconcava* Leymerie; Simmons et al., pl. 2, fig. 6, pl. 4, figs. 2-3.
 2000 *Orbitolina (Mesorbitolina) subconcava* Leymerie; Husinec et al., p. 164, fig. 8.6.
 2005 *Orbitolina (Mesorbitolina) subconcava* Leymerie; Krobicki.& Olszewska, p. 229, fig. 7C.

- ویژگی‌های خارجی

پوسته به صورت مخروط کوتاه تا دیسکی با قاعده مسطح تا محدب دیده می‌شود. حجره جنینی در رأس واقع شده است. قطر نمونه ۱۴۴/۲-۱۴۰/۴ میلی متر و ارتفاع آن ۱۴۰/۴-۱۳۶ میلی متر است. زاویه‌ای که از امتداد دو ضلع مخروط به وجود می‌آید ۱۶۰°-۱۲۵° اندازه‌گیری شده است.

- ویژگی‌های داخلی دستگاه جنینی: دستگاه جنینی (*M. texana*) شبیه به *Orbitolina* است، اما اندازه آن بزرگ‌تر است. حجره جنینی در رأس واقع شده و بیشترین اندازه آن در دو نمونه مطالعه شده ۱۳۰-۱۳۶ میلی متر است. سبرای دوتروکونک و ساب آمبریونیک کم و بیش یکسان است. دوتروکونک توسعه ۱۱-۱۵ دیواره عمودی که به صورت ریضی و منظم قرار گرفته‌اند، تقسیم شده است. ساب آمبریونیک توسعه پنج تا هفت دیواره فاصله‌دار تقسیم شده است. دیواره‌ها در مرکز ساب آمبریونیک به صورت کوتاه و خطی دیده می‌شوند و در نزدیک دو انتهای ساب آمبریونیک بلند و خمیده می‌شوند. (pl. 2, fig. 5). بیشترین قطر داخلی پروتوکونک ۰/۲-۰/۱۹ میلی متر است. بخش بالای پروتوکونک کمی محدب است و از دو طرف لبه‌دار شده است. تنها این بخش لبه‌دار است که درون دوتروکونک قرار می‌گیرد و بخش پایین آن به شدت مقعر است (pl. 2, figs. 5-6).

2006 *Orbitolina (Mesorbitolina) texana* (Roemer); Husinec & Sokac, p. 13, fig. 10. G.

- ویژگی‌های خارجی

پوسته کوچک و بیشتر به صورت مخروط کوتاه دیده می‌شود. قاعده نمونه مسطح، محدب و مقعر است. قطر نمونه ۶۸-۲/۵ میلی متر و ارتفاع آن ۱-۲۱ میلی متر است. حجره جنینی در رأس گرد شده (Rounded) (قرار می‌گیرد و زاویه‌ای که از امتداد دو ضلع مخروط به وجود می‌آید ۱۶۵°-۱۱۵° محاسبه شده است. به طور کلی چشم‌های کلسیتی (calcite eyes) بیشتر در نمونه‌های میکروسفریک وجود دارد، اما در بعضی از فرم‌های مگالوسفریک این گونه، به تعداد کم دیده شده است (pl. 1, fig. 11a).

- ویژگی‌های داخلی دستگاه جنینی

دستگاه جنینی در رأس واقع شده، در برش محوری طرح کلی آن مرتع تا کم و بیش مستطیلی شکل است (Pl. 1, Figs. 8-11; pl. 2, Figs. 3-4) و اندازه آن ۰/۲۷-۰/۲۱ میلی متر است. دستگاه جنینی شامل پروتوکونک، دوتروکونک و ناحیه ساب آمبریونیک است. دوتروکونک و ساب آمبریونیک توسط دیواره‌های عمودی تقسیم شده‌اند. تعداد تقسیمات ناحیه ساب آمبریونیک چهار تا شش عدد و دوتروکونک شش تا هشت عدد است. به طور کلی سبرای ساب آمبریونیک یا با دوتروکونک برابر است و یا کمی از آن کوچک‌تر است.

شکل خاص دستگاه جنینی (*O. (M.) texana*) به شکل تقریباً دایروی است (pl. 1, figs. 8-11). در این به آسانی ممکن ساخته است. دستگاه جنینی *O. (M.) parva* به *O. (M.) texana* نیز شباهت دارد، اما اندازه آن بزرگ‌تر است. پروتوکونک با قطر ۱۰/۱-۱۲/۱ میلی متر توسط دوتروکونک و ناحیه ساب آمبریونیک احاطه شده است. در برش محوری پروتوکونک *O. (M.) texana* به شکل تقریباً دایروی است (pl. 1, figs. 8-11). در این برش به نظر می‌رسد پروتوکونک با قطر ۱۰/۱-۱۲/۱ میلی متر عرض آن از ارتفاعش بیشتر است (fig. 9) (pl. 1, fig. 9) و گاهی موقع نیز عکس این حالت دیده می‌شود یعنی عرض آن از ارتفاعش کمتر است (pl. 2, figs. 3, 4) اما در این مورد کاملاً از *O. (M.) parva* قابل تشخیص است. در اینجا پروتوکونک با حالت استوانه‌ای به سمت بالا رشد کرده ولی ناگهان منقطع (truncate) می‌شود (مقایسه کنید 4 pl. 1, figs. 3-6 pl. 2, figs. 3, 4) در مواردی که بخش بالای پروتوکونک محدب می‌شود یعنی عرض آن از ارتفاعش کمتر است (pl. 1, fig. 10).

در برش افقی مربوط به بالاترین بخش ناحیه ساب آمبریونیک، تقسیمات ساب آمبریونیک به صورت هشت حجره گلبرگی شکل اطراف پروتوکونک دیده می‌شود (pl. 2, fig. 2). در این حجرات گلبرگی، فاصله بین دو دیواره عمودی (طول حجره) به طور متوسط ۰/۰۷ میلی متر و ارتفاع آن تقریباً ۰/۰۹ میلی متر است. به عبارت دیگر طول هر حجره از ارتفاع آن کمتر است.

O. (M.) texana مهم ترین تفاوت Schroeder(in Schroeder & Neumann, 1985) و *O. (M.) parva* را در همین برش افقی می‌داند که در *O. (M.) texana* دیواره عمودی مجاور (طول هر حجره) کمتر از فاصله پروتوکونک با اولین حجره بعد از حجره جنینی (ارتفاع حجره) است، در حالی که در *O. (M.) parva* عکس این مطلب صادق است (شکل ۵). اندازه دستگاه جنینی در ۲۳ نمونه و قطر پروتوکونک در ۱۹ نمونه اندازه‌گیری شده بر حسب میلی متر در جدول ۳ آمده است.

- انتشار چینه‌شناسی

این گونه نخستین بار توسط Roemer (1849) معرفی شد. این گونه از رسوبات آهکی آپتین پسین تا آلین میانی تگزاس گزارش شده است (Schroeder, in Schroeder & Neumann 1985)، همچنین این گونه از رسوبات آپتین پسین-آلین زیرین مصر (Kuss and Schlagintweit, 1988) از رسوبات

دیواره‌های عمودی تقسیم کننده ناحیه جنینی نیز نازک‌تر است.
- انتشار چینه‌شناسی

Douglass (1960) از *Orbitolina (Mesorbitolina) pervia* نخستین بار توسط (1878) Leymerie معرفی شد، اما هیچ نمونه‌ای از آن در مجموعه نمونه‌های لیمری یافت نشد. نئوتیپ (Neotype) آن که برش محوری از یک Schroeder, in Schroeder & Neumann 1985, pl. 37, figs. 2-3 شروع شرودر شرح داده شد (Neumann 1985, pl. 37, figs. 2-3). شروع در سن این گونه را بالاترین بخش آپتین تا آلبین پسین (latest Aptian-late Albian) (Velic, 2007) پیشنهاد می‌کند. این گونه از رسوبات آلبین زیرین (Husinec et al., 2000) همچنین از رسوبات آپتین پسین (Krobicki & Olszewska, 2005) و از رسوبات آلبین زیرین (Gorog and Arnaud-Vannieuw, 1996) (Velic, 2007) حوضه کارپاسین (Carpathians) (Velic, 2007) گزارش شده است.

Simmons et al. (2000) در بازنگری که بر مجموعه نمونه‌های هنسون داشته‌اند، برای اولین بار این گونه را از منطقه خاور میانه از Hana و Qashqai sarhad (Qashqai sarhad) ایران و از عراق گزارش نموده‌اند و سن این گونه را با احتمال به آلبین نسبت داده‌اند به طوری که اولین حضور این گونه در مرز آپتین و آلبین باعلامت سوال همراه بود. همچنین این گونه از رسوبات آلبین زیرین حوضه آدریاتیک نیز گزارش شده است (Velic, 2007).

۶- زیست‌چینه‌نگاری

در آهک‌های بخش بالایی سازند داریان در برش دشتک پنج گونه متعلق به زیر جنس *Mesorbitolina* شناسایی شدند که محدوده گسترش آنها در شکل ۶ نمایش داده شده است. گونه (M.) *lotzei* (Aptian early) بیشتر از رسوبات بخش بالایی آپتین پیشین (Simmons et al., 2000; Witt and Gokdag, 1994; Velic, 2007) گزارش شده است (Schroeder, 1975). همچنین (Bachmann and Hirsch, 2006; Velic, 2007) گسترش این گونه را تا پایین ترین حد آپتین پسین (earliest late Aptian) (Velic, 1988, 2007) می‌کند. در این مطالعه با توجه به مجموعه فسیلی همراه این گونه مانند *Praeorbitolina* (M.) *lotzei* (Wienandsi) (Velic, 1988, 2007) سن بخش بالایی آپتین پیشین پیشنهاد می‌شود. گونه (M.) *parva* در محدوده‌های زمانی آپتین پسین (Witt & Gokdag, 1994) (Bachmann and Hirsch, 2006; Iba & Sano, 2006) و آلبین پیشین (Husinec et al., 2000) (Velic, 1988, 2007) گزارش شده است.

لازم به یادآوری است در جدیدترین تحقیقاتی که با عنوان پژوهه IFP در مدیریت اکتشاف شرکت ملی نفت ایران صورت گرفته است (Luc Bulot 2006) آمونیت‌های Luc Bulot آن میانی سازند داریان و تیز قاعده سازند کثمدی در برش‌های صحرایی کوه فهیلان و بخش میانی در ناحیه خوزستان را مورد مطالعه قرار داده و بر این اساس، سن آپتین پسین را برای بخش بالایی سازند داریان در برش‌های یاد شده ارائه داده است. از آن جا که ناحیه مورد مطالعه فاصله زیادی با ناحیه تعیین سن شده ندارد و همچنین هیچ فسیل شاخص آلبین در بخش مورد مطالعه دیده نشد، بنابراین می‌توان نتیجه گرفت که سن بخش بالایی سازند داریان در ناحیه مورد مطالعه نیز آپتین پسین است. با توجه به این مطالعه و گسترش زمانی (M.) *parva* (O.) سن این گونه در مطالعه حاضر آپتین پسین پیشنهاد می‌شود. گونه (M.) *parva* (O.) هرگز از آپتین پیشین گزارش نشده است و اولین پیدايش آن در آپتین پسین است. در بیشتر مقالات مربوط به منطقه مدیریانه و ناحیه خاور میانه (Velic, 1988; Witt & Gokdag, 1994; Bachmann and Hirsch, 2006) (Velic, 1988; Witt & Gokdag, 1994; Bachmann and Hirsch, 2006) حضور (M.) *parva* (O.) برای تعیین مرز آپتین پیشین و پسین استفاده شده که این نتیجه با آمونیت و دیگر فسیل‌های شاخص نیز برسی شده است. از آن جا که ایران نیز بخشی از حوضه مدیرانه بوده، قابلیت همخوانی با این مناطق را دارد. در برش مورد مطالعه نیز با توجه به اولین حضور (M.) *parva* (O.) پس از گسترش زمانی (M.) *lotzei* (O.) می‌توان از ظهور این گونه برای تعیین مرز زمانی آپتین پیشین و پسین استفاده نمود (شکل ۶). (sample JR 3664).

۷- انتشار چینه‌شناسی

این گونه نخستین بار توسط (1878) Leymerie معرفی شد، اما هیچ نمونه‌ای از آن در مجموعه نمونه‌های لیمری یافت نشد. نئوتیپ (Neotype) آن که برش محوری از یک Schroeder, in Schroeder & Neumann 1985, pl. 37, figs. 2-3 شروع شرودر شرح داده شد (Neumann 1985, pl. 37, figs. 2-3). شروع در سن این گونه را بالاترین بخش آپتین تا آلبین پسین (latest Aptian-late Albian) (Velic, 2007) پیشنهاد می‌کند. این گونه از رسوبات آلبین زیرین (Husinec et al., 2000) همچنین از رسوبات بالاترین حد آپتین پسین - آلبین حوضه کارپاسین (Carpathians) (Krobicki & Olszewska, 2005) و از رسوبات آلبین زیرین (Velic, 2007) حوضه آدریاتیک (Adriatic) گزارش شده است. Simmons et al. (2000) در بازنگری که بر مجموعه نمونه‌های هنسون داشته‌اند، این گونه را از Qashqai sarhad (Qashqai sarhad) ایران گزارش می‌کند و با توجه به مجموعه فسیلی همراهش سن آن را آپتین پسین تا آلبین پیشنهاد می‌نمایند. همچنین از رسوبات Orbitolina minuta با عنوان Orbitolina discoidea (Douglass, 1960) و با عنوان Orbitolina discoidea (Douglass, 1960) از رسوبات آلبین تگراس (Tigras) (Kalantari, 1992) از رسوبات آپتین ایران، سازند داریان گزارش شده است.

Orbitolina (Mesorbitolina) sp. cf. M. pervia (Douglass, 1960)

(Pl. 2, Figs. 7-11)

1960 *Orbitolina morelensis*, Ayala-castanares; Ayala-castanares in Ellis & Messina, fig. 26.

1960 *Orbitolina pervia* Douglass; Douglass, pl. 11, figs. 13, 15.

1960 *Orbitolina texana* Douglass; Douglass, pl. 6, figs. 1, 3-6.

1996 *Orbitolina (Mesorbitolina) pervia* Douglass; Görög & Arnaud-vanneau, pl. 1, figs. 1-8.

2000 *Mesorbitolina pervia* Douglass; Simmons et al., pl. 4, fig. 4.

2000 *Orbitolina (Mesorbitolina) pervia* Douglass; Husinec et al., fig. 8. 5.

۸- ویژگی‌های خارجی

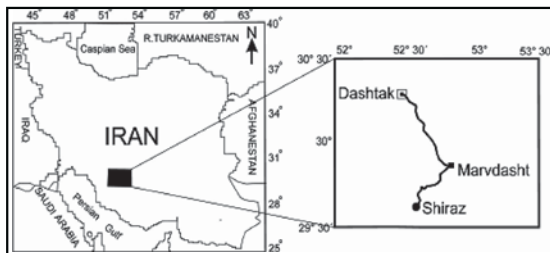
پوسته به صورت مخروط کوتاه با قاعده مسطوح، محدب و مقعر دیده می‌شود (Figs. 7-9), قطر نمونه ۰/۹-۲ میلی متر و ارتفاع آن ۰/۲۳-۰/۵ میلی متر است. دستگاه جنینی در رأس گردشده (Rounded) تا مسطوح (flat) واقع است. زاویه‌ای که از امتداد دو ضلع مخروط به وجود می‌آید ۱۵۸°-۱۲۰° محسوبه شده است.

۹- ویژگی‌های داخلی دستگاه جنینی

دستگاه جنینی در رأس گردشده و طرح کلی آن در برش محوری به شکل ذوزنقه واژگون است (Pl. 2, figs. 7-11). مهم‌ترین ویژگی این گونه پروتونکونک مسطوح - محدب آن با قاعده مسطوح در برش محوری است. بخش مسطوح می‌تواند به طور کامل مستقیم باشد (pl. 2, fig. 10)، یافروافتادگی کوچکی (depression) در بخش مرکزی آن وجود داشته باشد (pl. 2, figs. 8-9) و یا کمی تحدب داشته باشد (pl. 2, figs. 7, 11). در برش افقی از دستگاه جنینی، پروتونکونک به شکل دائرة دیده می‌شود. قطع پروتونکونک ۰/۲۳-۰/۱۳ میلی متر است. ناحیه ساب ابرینینیک که تا حدی دوتروکونک را در بر می‌گیرد، توسط شش تا هشت دیواره تقسیم شده است. بعضی از این دیواره‌ها در انتهای دو شاخه شده و تشکیل یک شبکه را می‌دهند (pl. 2, figs. 7-9). قطر دوتروکونک ۰/۶۷-۰/۴۳ میلی متر است، این ناحیه شامل ۱۲-۱۹ دیواره عمودی است که در اندازه‌های کم و بیش یکسان به صورت ردیفی و منظم قرار گرفته‌اند.

Dستگاه جنینی نمونه‌هایی که در این مطالعه به عنوان *O. (M.) sp. cf. M. pervia* Douglass (1960) معرفی می‌شوند به نمونه‌هایی که در این مطالعه به عنوان *M. pervia* از آهک‌های Glen rose (Glen Rose) تگراس گزارش کرده است، بسیار شبیه هستند اما دستگاه جنینی نمونه‌های مورد مطالعه دارای اندازه بزرگ‌تر است و دیواره دستگاه جنینی و

فرانسه که در شناسایی گونه‌های اریتولین و در تهیه مقالات متعدد مارا باری نموده سپاسگزاری و قدردانی می‌شود. همچنین از مدیریت محترم اکتشاف، شرکت ملی نفت ایران و از دانشگاه تهران به خاطر حمایت‌هایشان تشکر می‌شود.



شکل ۱- موقعیت جغرافیایی ناحیه مورد مطالعه

جدول ۱- اندازه پروتوکونک و دستگاه جنینی در *Orbitolina (Mesorbotolina) lotzei*

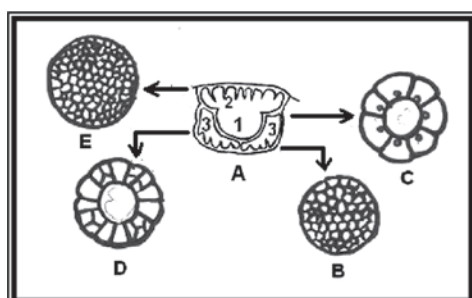
	Minimum	Mean	Maximum
اندازه دستگاه جنینی	.۰/۱۱	.۰/۱۲	.۰/۱۳۴
قطر پروتوکونک	.۰/۰۵۱	.۰/۰۵۹	.۰/۰۶۴

جدول ۲- اندازه حداقل، حداکثر و مقدار متوسط دستگاه جنینی و پروتوکونک در *O. (M.) parva*

	Minimum	Mean	Maximum
اندازه دستگاه جنینی	.۰/۱۴	.۰/۱۷۸	.۰/۲۱
قطر پروتوکونک	.۰/۰۷	.۰/۰۸	.۰/۰۹

جدول ۳- اندازه حداقل، حداکثر و مقدار متوسط دستگاه جنینی و پروتوکونک در گونه *O. (M.) texana*

	Minimum	Mean	Maximum
اندازه دستگاه جنینی	.۰/۲۱	.۰/۲۴	.۰/۲۷
قطر پروتوکونک	.۰/۱	.۰/۱۱	.۰/۱۲



شکل ۲- دستگاه جنینی یک نمونه مگالوسферیک در برش‌های مختلف (Schroeder, 1975) با اندکی تغییر. (A) برش محوری دستگاه جنینی شامل پروتوکونک(۱)، دوتروکونک(۲) و ناحیه ساب آمریونیک(۳). (B) برش افقی (Horizontal). (C) برش افقی از بالاترین قسمت ناحیه ساب آمریونیک (ایه‌های آلوئولار ساب آمریونیک). (D) برش افقی از بالاترین قسمت ناحیه ساب آمریونیک. (E) برش افقی مربوط به بالاترین قسمت دوتروکونک.

Schroeder, 1975 در محدوده زمانی آپتین پسین تا آلبین (Schroeder & Neumann, 1985; Kuss & Schlagintweit, 1988; Witt & Gokdag, 1994; Husinec et al., 2000) گزارش شده است. با توجه به گسترش زمانی *O. (M.) texana* و همچنین آلبین پیشین (Velic, 2007) (IPF Project, 2006) سن این گونه در سازند داریان آپتین پسین پیشنهاد می‌شود. *O. (M.) subconcava* تا آلبین پسین (Simmons et al., 2000; Schroeder & Neumann, 1985;) و آلبین پیشین (Krobicki & Olszewska, 2005; Bachmann & Hirsch, 2006) (Husinec et al., 2000; Velic, 2007) گزارش شده است.

با توجه به تحقیقات انجام شده (IPF Project, 2006) و گسترش زمانی *O. (M.) subconcava* به احتمال، در ناحیه مورد مطالعه سن این گونه در سازند داریان از آپتین پسین جوان‌تر نیست. گونه *O. (M.) pervia* از محدوده‌های زمانی آپتین پسین تا آلبین (Douglass, 1960; Hofker, 1963; Arnaud et al., 2000) و آلبین (Gorog & Arnaud Vanneau, 1996; Simmons et al., 2000; Velic, 2007) گزارش شده است.

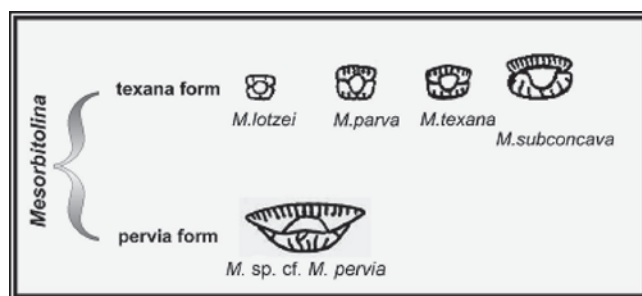
در منطقه خاورمیانه در مورد سن *O. (M.) sp. cf. M. pervia* منبع خاصی در دسترس نیست. تنها مرجع مورد استفاده بررسی‌های Simmons et al. (2000) است که اولین پیدایش *O. (M.) pervia* را با علامت سوال در مرز آپتین و آلبین می‌دانند. خوبشخانه همان طور که بیان شد بررسی‌های جدیدی بر اساس آموخته‌ها در ایران صورت گرفته که در آن بخش بالایی سازند داریان به طور دقیق تعیین سن شده و آپتین پسین گزارش شده است (IPF Project, 2006). این مطلب کمک زیادی در تعیین سن *O. (M.) sp. cf. M. pervia* در سازند داریان و در ناحیه مورد مطالعه از نمود که سن *O. (M.) sp. cf. M. pervia* در سازند داریان و آلبین قرار دارد. آپتین پسین جوان‌تر نیست و اولین پیدایش آن پایین تر از مرز آپتین و آلبین قرار دارد. در مجموع با توجه به گسترش چینه‌شناسی و محدوده سنی اریتولین‌ها و مطابقت با تعیین سن بر اساس آموخته‌ها، سن قسمت بالایی سازند داریان در ناحیه مورد مطالعه از بخش بالایی آپتین پیشین (late early Aptian) با حضور *O. (M.) lotzei* شروع شده و تا انتهای آپتین (late Aptian) ادامه می‌یابد (شکل ۶). همچنین سن بخش میانی و زیرین سازند داریان با توجه به موقعیت چینه‌شناسی لایه‌ها و حضور فسیل شاخص *Choffatella decipiens* آپتین پیشین (early Aptian) در نظر گرفته می‌شود.

۷- نتیجه‌گیری

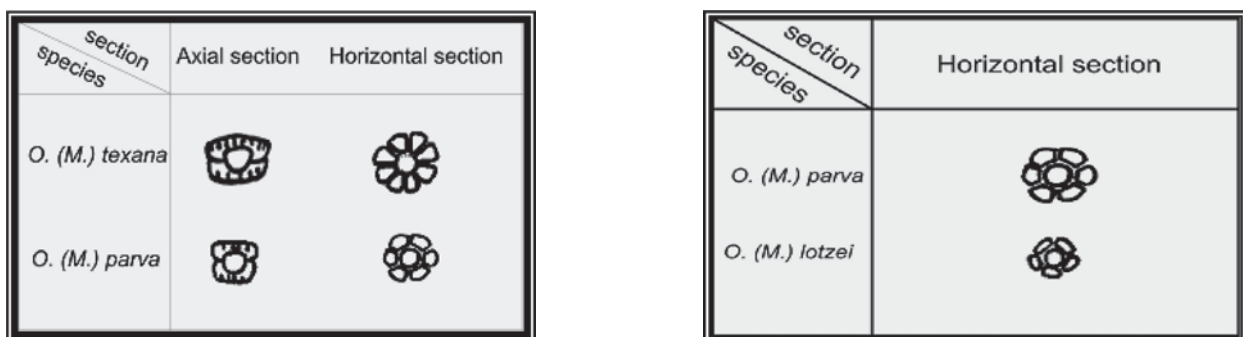
با توجه به ویژگی‌های حجره جنینی، ۵ گونه متعلق به زیر جنس مزاریتولینا در بخش بالایی سازند داریان شناسایی شدند که عبارتند از: *Orbitolina (Mesorbitolina) lotzei*, *Orbitolina (M.) parva*, *Orbitolina (M.) texana*, *Orbitolina (M.) subconcava*, *Orbitolina (M.) sp. cf. M. pervia*. این گونه‌ها بر اساس شکل پروتوکونک، شکل ناحیه ساب آمریونیک، اندازه دستگاه جنینی و پروتوکونک و تعداد تقسیمات ناحیه ساب آمریونیک و دوتروکونک شناسایی و از یکدیگر تمایز شدند. در این مطالعه سن بخش زیرین و میانی سازند داریان آپتین پیشین و سن بخش بالایی سازند داریان انتهای آپتین پیشین تا آپتین پسین (late early Aptian- late Aptian) پیشنهاد می‌شود. در این مطالعه مرز آپتین پیشین و پسین (early/late Aptian) بر اساس پیدایش *O. (M.) parva* مشخص می‌شود.

سپاسگزاری

از خانم دکتر آنی آرناد و نوآ (Anni Arnaud-Vanneau) استاد دانشگاه ژوزف فوریه

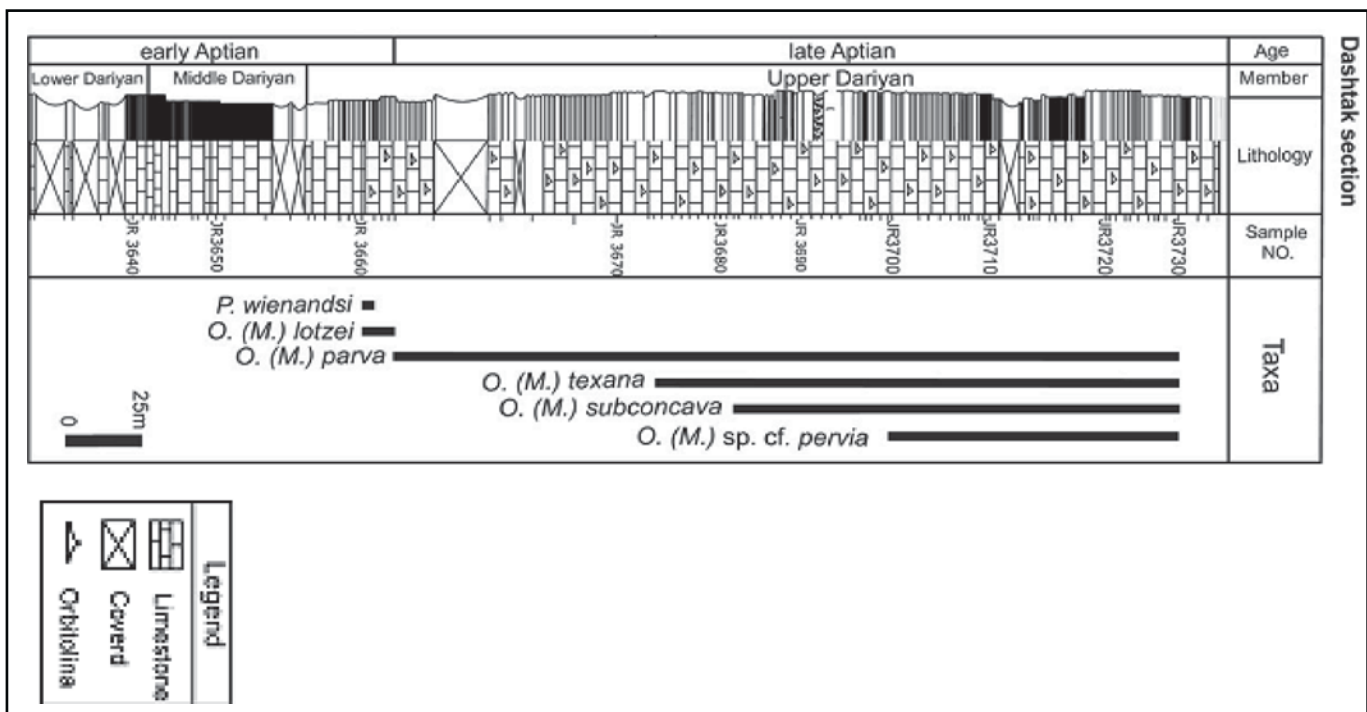


شکل ۳- تقسیم بندی گونه های زیر جنس *Mesorbitolina* در سازند داریان، برش دشتک



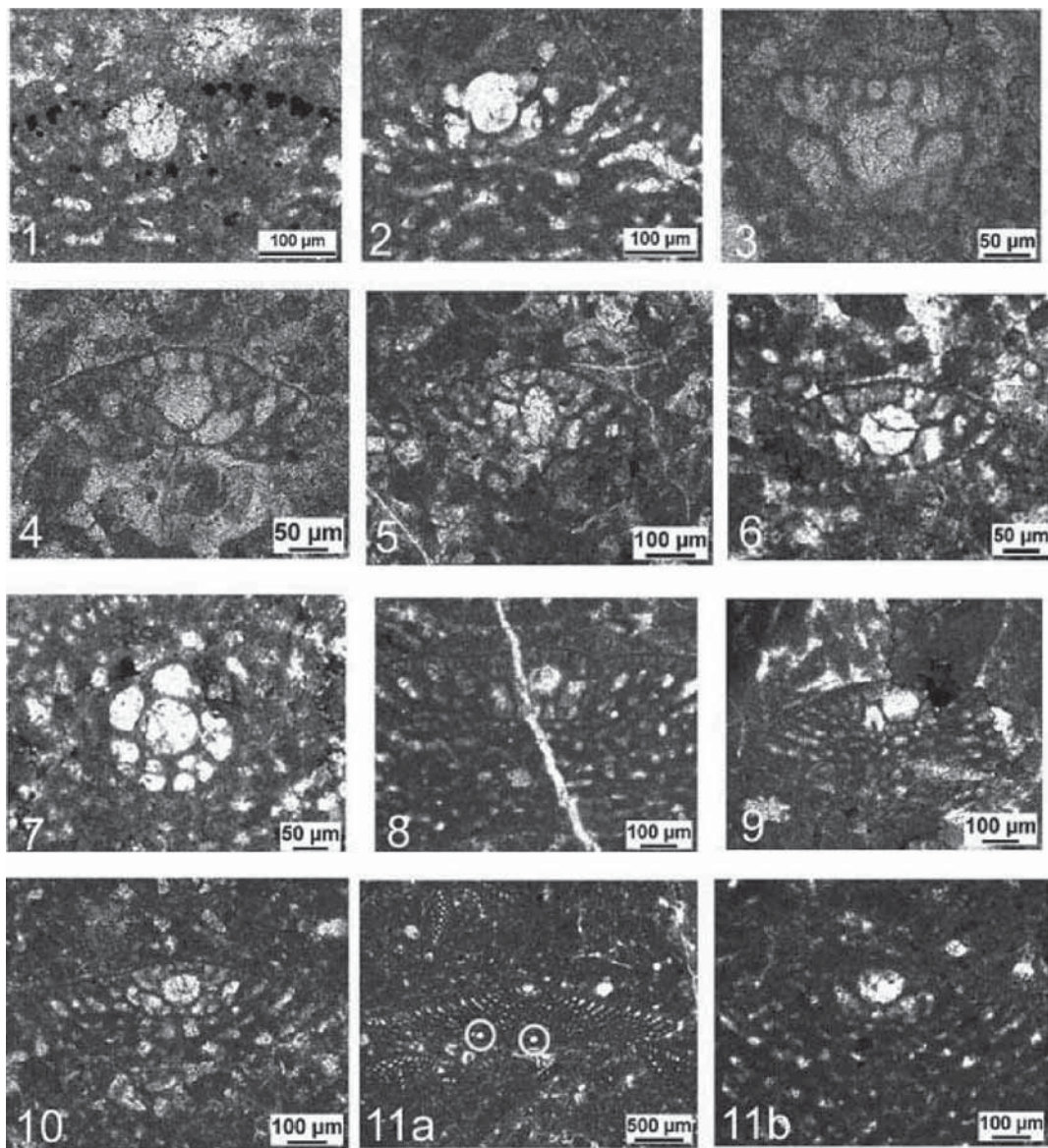
شکل ۴- برش افقی محوری و برش افقی از بالاترین قسمت ناحیه ساب آمربونیک در *Orbitolina (M.) lotzei* و *Orbitolina (M.) parva*

و *Orbitolina (M.) parva*



شکل ۶- ستون چینه شناسی و گسترش گونه های اریتوولین در سازند داریان، برش دشتک

Plate 1

**1- *praeorbitolina wienandsi* Schroeder, 1964**

Axial section through a megalospheric form. Sample JR 3661.

2- *Orbitolina (Mesorbitolina) lotzei* Schroeder, 1964

Axial section through a megalospheric form. Diameter of protoconch is 0.062 mm and embryonic apparatus, 0.13 mm Sample JR 3661.

3-7. *Orbitolina (Mesorbitolina) parva* (Douglass, 1960)

3- Axial section through embryonic apparatus. Diameter of protoconch is 0.085 mm and embryonic apparatus, 0.21 mm Sample JR 3692.

4- Axial section through a megalospheric form. Diameter of protoconch is 0.075 mm and embryonic apparatus, 0.187 mm Sample JR 3720.

5- Axial section through a megalospheric form. Diameter of protoconch is 0.08 mm and embryonic apparatus, 0.21 mm Sample JR 3722

6- Axial section through a megalospheric form. Diameter of protoconch is 0.085 mm and embryonic apparatus, 0.2 mm Sample JR 3720.

7- Horizontal section through a megalospheric embryo showing the protoconch, surrounded by subembryonic zone. Sample JR 3664.

8-11. *Orbitolina (Mesorbitolina) texana* (Roemer, 1849)

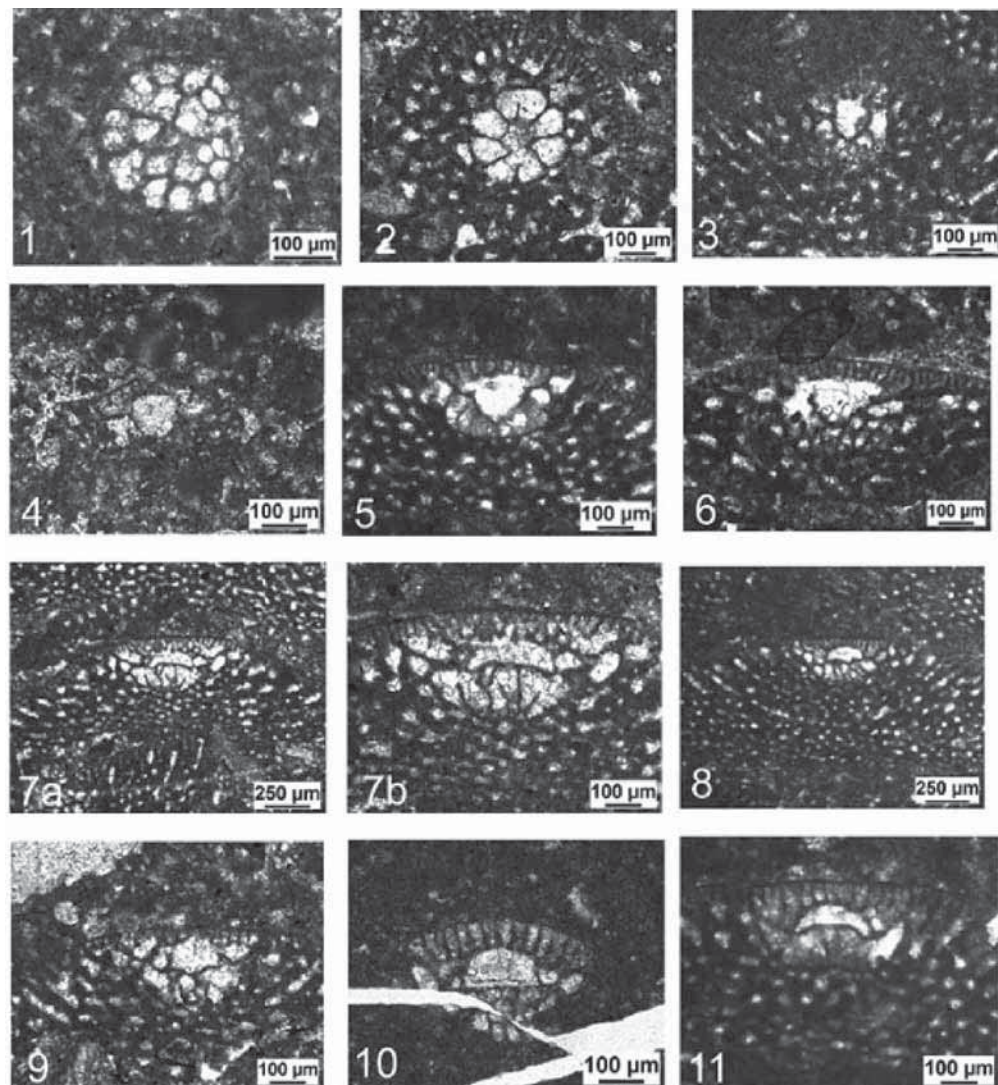
8- Axial section through a megalospheric form. Embryonic apparatus is semi rectangular with protoconch, subdivided deutoerconch and subembryonic area of approximately equal thickness. Diameter of embryonic apparatus is 0.25 mm Sample JR 3675.

9- Axial section through a megalospheric form. Embryonic apparatus is very distinctive-square with protoconch, subdivided deutoerconch and subembryonic area of approximately equal thickness. Diameter of protoconch is 0.1 mm and embryonic apparatus, 0.21 mm. Sample JR 3672.

10- Axial section through a megalospheric form. Diameter of protoconch is 0.1 mm and embryonic apparatus, 0.25 mm Sample JR 3719.

11- Axial section through a megalospheric form. Diameter of protoconch is 0.12 mm and embryonic apparatus, 0.26 mm Sample JR 3689. 11a) General view, calcite eyes are seen in this specimen; 11b) Details of the embryonic apparatus.

Plate 2

1-4. *Orbitolina (Mesorbitolina) texana* (Roemer, 1849)

1- Horizontal section through a megalospheric embryo, cutting lower part of the subembryonic zone Sample JR 3673.

2-Horizontal section through a megalospheric embryo, showing the protoconch surrounded by subembryonic zone. The regular partitions of the subembryonic zone are visible Sample JR 3701.

3-Axial section through a megalospheric form. Diameter of protoconch is 0.1 mm and embryonic apparatus, 0.21 mm Sample JR 3680.

4-Axial section through a megalospheric form. Diameter of protoconch is 0.1 mm and embryonic apparatus, 0.27 mm Sample JR 3721

5-6. *Orbitolina (Mesorbitolina) subconcava* (Leymerie, 1878)

5-Axial section through a megalospheric form. Diameter of protoconch is 0.19 mm, and embryonic apparatus approximately, 0.3 mm. Sample JR 3682.

6-Axial section through a embryonic apparatus. Diameter of protoconch is 0.21 mm and embryonic apparatus approximately, 0.357 mm Sample JR 3690. .

7-11. *Orbitolina (Mesorbitolina) sp. cf. M. pervia* (Douglass, 1960).

7-Axial section of the megalospheric form. embryonic apparatus is 0.67 mm and protoconch, 0.23 mm in diameter. 7a) General view; 7b) Details of the embryonic apparatus Sample JR 3699.

8-Axial section of the megalospheric form. showing a small depression in connection with the center of the reticulum of the subembryonal chamber, embryonic apparatus is 0.46 mm Sample JR 3699.

9-Axial section of the embryonic apparatus. showing a small depression in connection with the center of the reticulum of the subembryonal chamber, embryonic apparatus is 0.4 mm Sample JR 3701.

10-Axial section of the embryonic apparatus, showing details of the embryonic apparatus. Diameter of the protoconch is 0.16 mm and deutoconch, 0.43 mm. Sample JR 3730.

11-. Axial section of the embryonic apparatus, Diameter of the protoconch is 0.2 mm and deutoconch, 0.42 mm Sample JR 3699.

References

- Arnaud, H., Arnaud-Vanneau, A., Bulot, L. G., Beck, C., Macsotay, O., Stephan, J. F. et Vivas, V., 2000- Le Crétacé inférieur du Venezuela oriental: stratigraphie séquentielle des carbonates sur la transversale Casanay-Maturin (États de Anzoátegui, Monagas et Sucre), *Geologie Alpine*, 76: 3-81.
- Bachmann, M. & Hirsch, F., 2006- Lower Cretaceous carbonate platform of the eastern Levant (Galilee and Golan Heights): stratigraphy and second – order sea – level change, *Cretaceous Research*, 27: 487-512.
- Castro, J. M., Company, M., de Gea, G. A. & Aguado, R., 2001- Biostratigraphy of the Aptian-Middle Cenomanian platform to basin domain in the Peribetic Zone of Alicante, SE Spain.: calibration between shallow water bentonic and pelagic, *Cretaceous Research*, 22: 145-156.
- Cherchi, A., De Castro, P. & Schroeder, R., 1978- Sull'eta dei livelli a Orbitolinidi della Campania e delle Murge Baresi (Italia meridionale), *Boll. Soc. Natur. Napoli*, 87: 1-24.
- Douglass, R. C., 1960- The foraminiferal genus Orbitolina in North America, *Professional Paper of the United States Geological Survey*, 333, 1-52.
- Ellis, B. & Messina, A., 1966- Catalogue of index foraminifera, *American Museum Natural History. Special publication*, vol. 2.
- Fourcade, E. & Raoult, J-F., 1973- Cretace du kef hahouner et position stratigraphique de Ovalveolina reicheli p.de castro (Serie septentrionale du mole neritique du constantinois, Algérie, *Revue de Micropaleontologie*, vol. 15, n 14, pp. 227-246.
- Görög, A. & Arnaud-Vanneau A., 1996- Lower Cretaceous Orbitolinas from Venezuela, *Micropaleontology*, vol. 42, no. 1, pp. 65-78
- Henson, F. R. S., 1948- Larger imperforate foraminifera of south-western Asia. *British Museum Natural History*, London, 127p.
- Hofker, J., 1963- Studies on the genus Orbitolina. (Foraminiferida), *Leidse Geologische Medelingen*, 29: 181-254.
- Husinec, A., velic, I., Fucek, L., vlavovic, I., Maticec, D., Ostric, N. & Korbar, T., 2000- Mid Cretaceous orbitolinid (Foraminiferida) record from the Islands of Cres and Losinj (Croatia) and it's regional stratigraphic correlation, *Cretaceous Research*, 21: 155-171.
- Husinec, A. & Sokac, B., 2006- Early Cretaceous benthic associations (foraminifera and calcareous algae) of a shallow tropical –water platform environment (Mljet Island, Southern Croatia), *Cretaceous Research*, 20: 1-24.
- Iba, Y. & Sano, S., 2006- Mesorbitolina (Cretaceous larger foraminifera) from the Yezo group in Hokkaido, Japan.and its stratigraphic and paleobiogeographic significance, *Proc. Jpn. Acad. ser. B82*, 8: 216-223
- Institute Francais du Petrole in co-operation with National Iranian Oil Company, 2006- Middle East Cretaceous sequence stratigraphic study. NIOC Geological Report no.2172
- James, G. A. & Wynd, J. G., 1965- Stratigraphic nomenclature of Iranian oil consortium agreement area. AAPG, vol. 49, No. 12.
- Kalantari, A., 1992- Lithostratigraphy and microfacies of Zagros orogenic area S.W .Iran. National Iranian Oil Company Exploration and Production. geological laboratories, No. 12.
- Krobicki, M. & Olszewska, B., 2005- Urgonian-type microfossils in exotic pebble of the Late Cretaceous and Palaeogene gravelstones from the Sromowce and Jarmuta formations (Pieniny Klippen Belt, Polish Carpathians), *Studia Geologica Polonica*, 124: 215-235.
- Leymerie, A., 1878- Description géologique et paléontologique des Pyrénées de la haute-Garonne. E. Privat edit., Toulouse, 2t., 1010p.
- Kuss, J. & Schlagintweit, F., 1988- Facies and stratigraphyof Early to Middle Cretaceous (late Aptian-early Cenomanian) strata from the northern Rim of the African Cratons (Gebel Maghara- Sinai, Agypten), *Facies*, 19: 77-96.
- Luperto Sinni, E. & Masse, J-P., 1993- Biostratigrafia dell' Aptiano in facies di piattaforma carbonatica delle murge baresi (Puglia-Italia Meridionale), *Riv.It. Paleont. Strat.*, V. 98, N. 4, pp. 403-424.
- Mehrnsch, M., 1973- Eine Orbitoliniden-Fauna aus der Unterkreide von Esfahan (Zentral-Iran).: N. Jb, Geol. Paleont. Mh., v. Jg. 1973, H6, p. 374-382.
- Moullade, M., Peybernes, B., Rey, J. & Saint-Marc, P., 1985- Biostratigraphic interest and paleobiogeographic distribution of Early and Mid-Cretaceous Mesogean Orbitolinids (Foraminifera), *Jour. Foram. Res.*, 15: 149-158.
- Moullade, M., Peybernes, B. & Saint-Marc, P., 1978- Validité d'Orbitolina subconcava Leymerie, 1878, *Geobis*, n° 11, p. 745-753.
- Moullade, M. & Saint-Marc, P., 1975- Les "Mesorbitolines": revision taxinomique, importance stratigraphique et paleobiogeographique, *Bull. Soc. Geol. France*, 17: 828-842.
- Rey, J., Bilotte, M. & Peybernes, B., 1977- Analyse biostratigraphique et paleontologique de l'Albien marine D'estremadura (Portugal), *Geobis*, n° 10, p. 369-393.
- Roemer, F., 1849- Texas. Bonn, 464p.
- Sampo, M., 1969- Microfacies and microfossils of the Zagros area Iran (from pre-Permian to Miocene); *Internationa Sedimentary Petrographical Series*, v. XII. Leiden, J. Cuvillier and H.M.E. Schürmann, 1-157 p.
- Saint-Marc, P., 1970- Contribution a la connaissance du Crétacé basal au Liban.: *Revue de Micropaleontologie*, vol. 12, n. 4, pp. 224-233.
- Sartorio, D. & Venturini, S., 1988- Southern Tethys biofacies.: AGIP , Milan 235 p.
- Seyed-Emamai, K., Brants, A. & Bozorgnia, F., 1971- Stratigraphy of the Cretaceous rocks southeast of Esfahan. Geological survey of Iran, Report No. 20.
- Schroeder, R., 1962- Orbitolinen des Cenomans Sudwesteuropas.-*Pal. Zeitschr.*, vol. 38, no. 3-4, 171-202.
- Schroeder, R., 1975- General evolutionary trends in Orbitolinas, *Rev. Espanola micropal.* Numero Especial, pp. 117-123.
- Schroeder, R. & Neumann, M., 1985- " Les grands foraminifères du Crétacé moyen de la région méditerranéenne", *Geobios*, memoire special, 7: 1-161.
- Schlagintweit, F., 1990- Allochthonous urgonian limestones of the Northern calcareous Alps: facies and palaeogeographic framework within the Alpine Orogeny, *Cretaceous Research*, 11: 261-272.
- Simmons, M. D. & Hart, M. B., 1987- The biostratigraphy and microfacies of the Early to Mid-Cretaceous carbonates of Wadi Mi'aidin, Central Oman Mountains. In: Hart, M. B. (Ed.), *Micropaleontology of Carbonate Environments*. Ellis Harwood, Chichester, pp. 176-207
- Simmons, M. D., Whittaker J.E. & Jones R.W., 2000- Orbitolinids from Cretaceous sediments of the Middle East: a revision of the F.R.S. Henson and Associates Collection, Grzybowski Foundation Special Publication, 7: 137-411.
- Velic, I., 1988- Lower Cretaceous benthic foraminiferal biostratigraphy of the shallow-water carbonates of the Dinarides, *Benthos* 86, *Revue de Paleontologi*, special Issue 2: 467-475.
- Velic, I., 2007- Stratigraphy and palaeobiogeography of Mesozoic benthic foraminifera of the Karst Dinarides, *Geologia Croatica* vol. 60, no. 1, pp. 1-113
- Witt, W. & Gokdag, H., 1994- Orbitolinid biostratigraphy of the Shuaiba Formation (Aptian), Oman: implication for reservoir development. In: Simmons, M.D. (Ed.), *Micropaleontology and hydrocarbon exploration in the Middle East*. pp. 221-242. Chapman and Hall, London.